・论 著・

SIRT3 通过 Rb/p16 途径促进肝癌细胞衰老的研究*

宋春丽1,黄 荣1,李泽华2,周义文1△

(南方医科大学深圳医院:1. 临床检验医学中心;2. 烧伤整形科,广东深圳 518100)

摘 要:目的 探讨沉默信息调节因子 3(SIRT3)对肝癌细胞老化的作用,并初步研究其作用机制。方法 通过转染 SIRT3 基因,使其在肝癌细胞内过表达。用实时荧光定量 PCR 和 Western blot 技术验证 SIRT3 基因的过表达效果; BrdU 标记实验检测它对肝癌细胞增殖的影响; β -半乳糖苷酶染色检测肝癌细胞的老化情况; Western blot 检测它对衰老相关基因 Rb, p16, P53 蛋白表达的影响。结果 SIRT3 过表达质粒使肝癌细胞中 SIRT3 的 mRNA 及蛋白水平明显增加。 SIRT3 基因的过表达能抑制肝癌细胞的增殖,抑制率为 $40\%\sim50\%$; 同时, SIRT3 基因过表达能显著诱导肝癌细胞 G_2 期周期阻滞:转染 PCDNA3. P

关键词:沉默信息调节因子3; 肝细胞癌; 细胞衰老

DOI: 10. 3969/j. issn. 1673-4130. 2016. 16. 006

文献标识码:A

文章编号:1673-4130(2016)16-2220-04

Study on the SIRT3 inducing senescence in hepatocelluar carcinoma cells through the Rb/p16 pathway*

 $SONG\ Chunli^1\ , HUANG\ Rong^1\ , LI\ Zehua^2\ , ZHOU\ Yiwen^{1\triangle}$

(1. Center for Clinical Laboratory Medicine, Shenzhen Hospital of Southern Medical University, Shenzhen, Guangdong 518100, China; 2. Burn and Plastic Surgery Department, Shenzhen Hospital of Southern Medical University, Shenzhen, Guangdong 518100, China)

Abstract:Objective To study the effect of SIRT3 gene(SIRT3) on aging of hepatocellular carcinoma cells (HCC) and it's mechanism. Methods SIRT3 over-expression was targeted by plasmid transfected technology. Effect of SIRT3 on aging of HCC was detected by RT-PCR and Western blot, respectively. Proliferation of HCC was assayed by Brdu-labeling test. Cell cycle of HCC was displayed by flow cytometry. Aging of HCC was observed with SA-β-gal staining. Aging-related Rb, p16, P53 proteins were demonstrated by Western blot. Results SIRT3 over-expression significantly upregulated the SIRT3 mRNA and protein expression levels in HCC. SIRT3 suppressed the proliferation of HCC with an suppression rate of 40% - 50%, and significantly induced cell cycle arrest of HCC at stage G_2 . The proportion of pc-DNA3. 1, SIRT3 plasmid transfected HCC at stage G_2 was about (22, 83 ± 1.58)% and (35, 65 ± 1.55)%. The aging-related β-galactosidase-stained HCC were significantly greater with a positive rate of 40% - 50% (P < 0.05), and the aging-related Rb, p16 protein expression levels were significantly higher. Conclusion SIRT3 promotes the aging of HCC possibly through the Rb/p16 pathway.

Key words: SIRT3; hepatocellular carcinoma; cell aging

肝细胞癌(HCC)占原发性肝癌的 90%[1]。HCC 起病隐匿,出现典型临床症状时大多已处于中晚期,失去手术机会,自然生存期不超过半年[2]。sirtuin 家族是一类依赖烟碱胺腺嘌呤二核苷酸(NAD+)的第Ⅲ类组蛋白去乙酰化酶[3],包括SIRT1~SIRT7,沉默信息调节因子 3(SIRT3)是线粒体内主要的去乙酰化酶,一般存在于线粒体基质中,在成熟过程中它的N末端在线粒体基质容易被水解。只有被切割的 SIRT3 蛋白才具有活性,当 SIRT3 信号肽被切除以后,它使组蛋白去乙酰基化从而发挥其活性。SIRT3 作为一种线粒体蛋白,主要在以下方面发挥着重要作用,如细胞凋亡[4]、物质代谢[5]、细胞老化[6]、能量产生[7]和细胞内信号控制等[8]。近年来 SIRT3 在肿瘤中的作用日益受到人们的关注,但其在 HCC 中发生、发展过程中的机制还不完全清楚。本研究通过将过表达 SIRT3

基因的质粒转染于肝癌细胞中,检测 SIRT3 基因过表达对肝癌细胞老化的作用,并初步探讨其作用机制,以寻求其对肝癌基因治疗的意义。

1 材料与方法

- 1.1 仪器与试剂
- 1.1.1 仪器 荧光定量 PCR 仪、Western blot 电泳仪、Western blot 电转膜仪均购自美国 Bio-rad 公司,Mastercycler96 孔普通 PCR 仪、5810R 台式高速低温离心机购自美国 Eppendorf 公司,酶标仪购自美国 Gene Company Limited 公司。
- 1.1.2 试剂 人肝癌细胞株 SK-Hep-1 购自 ATCC 公司, SIRT3 质粒(载体为 pc-DNA3.1),pc-DNA3.1 质粒购自 Addgene 公司。Brdu ELISA 试剂盒购自罗氏公司,BCA 蛋白浓度测定试剂盒购自上海碧云天生物技术公司,SIRT3 抗体(#

2627)、P16 抗体(#4824)、P53 抗体(#2527)、Rb 抗体(#9313)、β-actin 抗体(#4970) 购自 CST 公司,二抗购自瑞典 GE healthcare 公司。反转录试剂盒购自美国伯乐公司,Light-Cycler[®] FastStart DNA Master SYBR Green I Roche 12239264001 购自罗氏公司。

1.2 方法

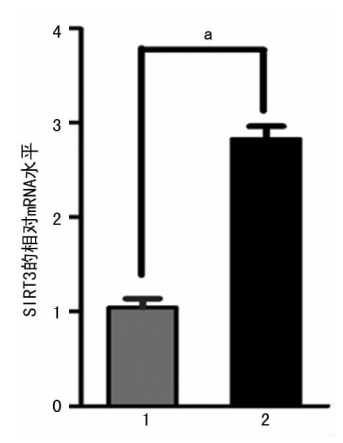
- **1.2.1** 细胞培养 将 SK-Hep-1 肝癌细胞株在含有 1%青/链霉素、10%胎牛血清的 DMEM 培养基中培养,放置于 37 ℃细胞培养箱,于 5% CO₂ 的环境中进行常规培养。
- 1. 2. 2 实时荧光定量 PCR(qPCR)检测 SIRT3 基因过表达的 mRNA 水平 提取细胞中的 RNA,用 30 μ L 去 RNA 酶的水将 RNA 溶解,测浓度,电泳检测 RNA 提取质量,纯度合格后构建反转录反应体系:1 000 ng RNA,5 × 反应混合液 4 μ L,iScript 酶混合液 1 μ L,去 RNA 酶水补齐至 20 μ L。充分混匀后按以下条件反应:25 ℃ 5 min,42 ℃ 30 min,85 ℃ 5 min,4 ℃ 10 min。构建 10 μ L qPCR 体系:反转录产物 1 μ L,去 RNA 酶水 3. 6 μ L,SYBR Green qPCR Mix(2×)5 μ L,SIRT3 上下游引物(10 μ mol/L)各 0. 2 μ L。反应条件:预变性 95 ℃ 2 min;变性 94 ℃ 20 s,退火 60 ℃ 20 s,延伸 72 ℃ 20 s,随后 75 ℃ 1 s,34 个循环,从第 2 个循环开始读数,溶解曲线为 55~95 ℃,每次波动 1 ℃,保持 2 s。 SIRT3 引物序列,F:5′-ATC-GATGGGCTTGAGAGAGT-3′;R:5′-AGGTTCCATGAGCTTCAACC-3′。所有测试管均采用三管重复,并重复实验 3 次,取其平均值。
- 1.2.3 Western blot 检测 SIRT3 基因过表达的蛋白水平 种 SK-Hep-1 细胞(每孔 8×10^4)于 6 孔板中,24 h 后将表达 SIRT3 的质粒转染进 SK-Hep-1 细胞中,同时以 pc-DNA3.1 作为空白对照,24 h 后换液继续培养 72 h,然后裂解细胞进行 Western blot 检测。
- 1. 2. 4 BrdU 标记法检测肝癌细胞增殖 SK-Hep-1 细胞以 25×10^4 /mL 细胞数接种于 6 孔板中 24 h 分别转染了 pc-DNA3. 1、SIRT3,第 2 天再以 6 000/每孔的细胞数分至 96 孔板培养 2 d,终止细胞培养前,加入 BrdU(终浓度为 30 μ g/L), 37 ℃ 6 h,用 FixDenat37 溶液固定细胞 30 min,加抗 BrdU 单抗(工作浓度 1:100),阴性对照孔加磷酸盐缓冲液(PBS,室温,90 min),酶标仪读取的 OD 值跟细胞内 DNA 的合成速率呈正比。
- 1. 2. 5 流式细胞仪检测细胞周期 将表达 SIRT3 的质粒转染进 SK-Hep-1 细胞中,以 pc-DNA 3. 1作为空白对照,96 h 后收集细胞,应用 5 mL 的 PBS 洗涤收集的细胞 3 次,离心沉淀细胞,弃上清液,70%预冷的乙醇一20 ℃过夜固定,离心固定过的细胞,弃上清液,PBS 洗涤细胞 3 次用来除去残留的乙醇,用含有 0. 2 mg RNase A 的 1 mL PI/Triton X-100 染色液(20 μ g PI/0. 1% Triton X-100)重悬细胞,37 ℃染色 15 min。上流式细胞仪检测细胞周期。
- 1.2.6 衰老因子相关的β-半乳糖苷酶染色 将生长状态良好的 SK-Hep-1 细胞接种至 6 孔板中,24 h 后分别转染 pc-DNA3.1、SIRT3 质粒。转染 4 d 后加入 X-Gal 底物,进行跟衰老相关的β-半乳糖苷酶染色,在光学显微镜下观察变成蓝色的表达β-半乳糖苷酶的细胞数,随机选择 3 个视野进行观察,每个视野计数 200 个细胞,计算β-半乳糖苷酶染色阳性的细胞占

总细胞数的百分比。

- 1.2.7 Western blot 分析衰老相关蛋白 提取肝癌细胞中的蛋白,BCA 法检测样本蛋白水平,取蛋白总量为 30 μg 的样品,加入对应体积的 $6\times$ SDS 蛋白质电泳上样缓冲液(含β 筑基乙醇),95 ℃ 10 min 使蛋白变性,在含有8%十二烷基磺酸钠-聚丙烯酰胺凝胶电泳(SDS-PAGE)的凝胶中120 V恒压电泳1.5h,然后90 V恒压转膜4h,将NC 膜转至5%脱脂牛奶中封闭,摇床上室温1h,TBST 洗涤后分别加入用5%BSA 稀释的一抗中(SIRT3 抗体的工作浓度1:3000,P16 抗体、P53 抗体、Rb 抗体的工作浓度均为1:1500),摇床,4℃过夜,1×TBST洗涤3次,将NC 膜置于用5%脱脂牛奶稀释用 HRP 标记的二抗(工作浓度1:3000)中,摇床,室温2h后,1×TBST洗涤3次,5 min 1次,然后将NC 膜置在暗盒中 ECL 显影曝光。
- 1.3 统计学处理 采用 SPSS19.0 统计软件进行统计分析,计量资料以 $\bar{x}\pm s$ 表示,组间比较采用配对 t 检验,以 P<0.05 为差异有统计学意义。

2 结 果

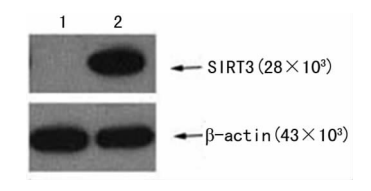
2.1 qPCR 检测 SIRT3 的过表达效果 将 SIRT3 质粒转染 SK-Hep-1 细胞,同时以 pc-DNA3.1 作为空白对照,转染 72 h后提取细胞总 RNA。结果显示转染了 SIRT3 质粒的肝癌细胞 mRNA 水平较对照组明显增加,说明 SIRT3 基因的过表达是成功的。见图 1。



注:1 为 pc-DNA3.1;2 为 SIRT3; *P<0.05。

图 1 qPCR 检测细胞中 SIRT3 的 mRNA 水平

2.2 Western blot 检测 SIRT3 基因过表达的蛋白水平 将 SIRT3 质粒转染 SK-Hep-1 细胞,同时以 pc-DNA3.1 作为空 白对照,转染 72 h 后提取细胞蛋白裂解液进行 Western blot 检测,结果显示转染了 SIRT3 质粒的肝癌细胞中 SIRT3 基因的蛋白水平较对照组明显增加,说明 SIRT3 的蛋白水平也成 功地过表达,见图 2。

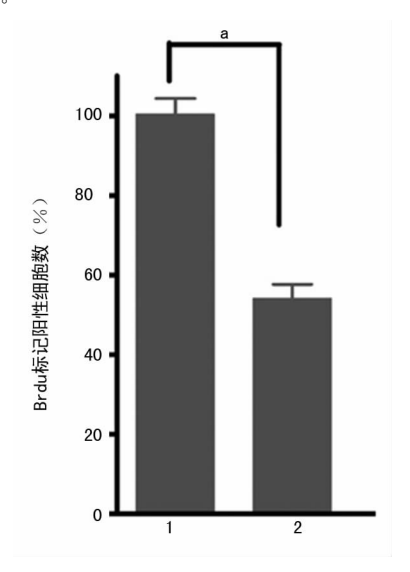


注:1 为 pc-DNA3.1;2 为 SIRT3。

图 2 Western blot 检测细胞中 SIRT3 的蛋白水平

2.4 SIRT3 基因过表达对细胞周期的影响 将 pc-DNA3.1、SIRT3 质粒分别转染 SK-Hep1 细胞,转染 96 h 后固定细胞进

行流式细胞术分析。结果显示,转染 SIRT3 的细胞处于 G_2 期细胞较对照组细胞(pc-DNA3.1组)明显增加(P<0.05),说明 SIRT3 基因过表达会诱使细胞产生 G_2 期细胞周期阻滞。见图 3 和表 1。



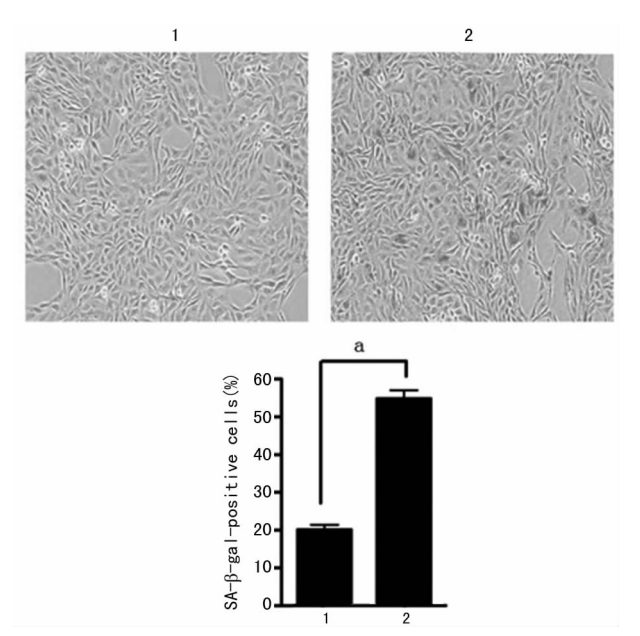
注:1为 pc-DNA3.1;2 为 SIRT3; *P<0.05。

图 3 BrdU 标记实验检测 SIRT3 基因过表达 对肝癌细胞增殖的影响

表 1 流式细胞术检测细胞周期(%)

组别	G_1	S	G_2
pcDNA3.1组	47.94±0.29	29.23±1.32ª	22.83±1.58ª
SIRT3 组	52.07 ± 1.56	12.28 \pm 1.54ª	35.65 ± 1.55^a

注:与 pc-DNA3.1 组比较,*P<0.05。



注:1 为 pc-DNA3.1;2 为 SIRT3; *P<0.05。

图 4 β-半乳糖苷酶染色检测(×200)并 计数阳性细胞数百分比

2.5 SIRT3 基因过表达诱导肝癌细胞衰老 在光学显微镜下观察到变成蓝色的表达 β-半乳糖苷酶的细胞数较对照细胞明显增多;在 SK-Hep1 细胞中,转染 SIRT3 质粒的细胞的染色

阳性细胞数比对照细胞多近 3 倍,以上结果说明 SIRT3 过表 达诱导肝癌细胞老化。见图 4。

2.6 SIRT3 基因过表达促进衰老相关蛋白 Rb、p16 和 p53 的 表达 Western blot 结果显示在 SK-Hep-1 细胞中, SIRT3 基 因过表达使 SK-Hep1 细胞中 Rb 蛋白和 p16 蛋白的表达量明显增多,而 p53 蛋白的表达量却没有明显变化。Rb 可以通过诱导 p16 的表达从而引起细胞周期阻滞,从而在细胞衰老中起关键作用。提示 SIRT3 过表达可能通过调控 Rb/p16 途径诱导了细胞衰老。见图 5。

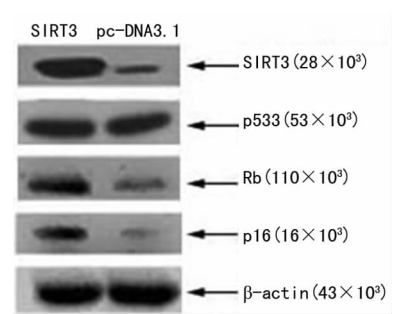


图 5 Western blot 分析转染 SIRT3 质粒 96 h 后的细胞中 Rb、p16 和 p53 蛋白水平

3 讨 论

近年来,SIRT3在肿瘤发生、凋亡及调控中的作用越来越 受到人们的关注。SIRT3 可以通过调节 KU70-Bax 通路参与 细胞凋亡[9],通过去乙酰化 SOD2、MnSOD来调节氧化应激反 应[10-11],通过调节 p53 途径来诱导老化等[7]。SIRT3 在一些肿 瘤中也起着双重调节的作用,比如它在口腔癌中表达上调,对 口腔癌起促进肿瘤发生的作用[12],而在乳腺癌[13]、骨肉瘤[14]、 结肠癌[15]中表达降低,对肿瘤起抑制作用。SIRT3在肝癌中 的作用及机制,目前国内外这方面的报道很少。本研究通过前 期大量 HCC 标本的筛查,发现 SIRT3 在人 HCC 组织中的表 达明显低于癌旁组织,同时发现 SIRT3 在多个肝癌细胞系中 也呈现低表达状态[16]。在本研究发现 SIRT3 过表达可使肝癌 细胞受到明显抑制,引起细胞周期 G₂ 期细胞阻滞,并使与老 化相关的 β-半乳糖苷酶明显增加, Western blot 检测发现部分 老化相关基因(Rb、p16)的蛋白表达水平均明显增加,而 p53 蛋白表达却没有明显变化,从而得出 IRT3 基因的过表达可能 通过 Rb/p16 途径,而不是 p53/p21 途径促进肝癌细胞衰老从 而抑制细胞的增殖。笔者前期报道过 SIRT1 基因沉默后引起 细胞周期 G₁ 期细胞阻滞,衰老相关基因 p53 和 p21 蛋白表达 增加,可能通过 p53/p21 途径促进细胞衰老[17]。说明 SIRT1 和 SIRT3 虽同属于 sirtuin 家族,但在肝癌细胞衰老中的作用 路径和调控机制却有明显差异,甚至发挥相反的作用,特别是 其作用在细胞内的信号通路也会有明显不同,进一步加深了研 究者对 sirtuin 家族了解的兴趣。

细胞衰老是引起生物体老化的一种潜在因素,也被认为是生物体抑制肿瘤的一种方式。目前研究报道普遍认为端粒长度的缩短是触发细胞老化的关键因素^[18-19]。本课题计划下一步将合成 Rb 和 p16 siRNA,观察 Rb 和 p16 基因干扰后是否逆转 SIRT3 过表达引起的部分老化,以提供更充分的证据确定它是否通过 Rb/p16 途径引起肝癌细胞的衰老,并通过 qPCR 筛查端粒酶反转录酶(TERT)和保护端粒蛋白复合体

(包括 TRF1 和 POT1 等)以及其他的端粒相关蛋白,希望通过对 SIRT3 在 HCC 中的功能鉴定和研究,加深对肝癌细胞老化机制的认识,为寻找新的肝癌治疗靶点打下基础。

参考文献

- [1] Brau N, Fox RK, Xiao P, et al. Presentation and outcome of hepatocellular carcinoma in HIV infected patients: a U. S. -Canadian multicenter study [J]. J Hepatol, 2007, 47 (4):527-537.
- [2] Yuen MF, Hou JL, Chutaputti A, et al. Hepatocellular carcinoma in the Asia pacific region[J]. J Gastroenterol Hepatol, 2009, 24(3):346-353.
- [3] Imai S, Armstrong CM, Kaeberlein M, et al. Transcriptional silencing and longevity protein Sir2 is an NAD-dependent histone deacetylase[J]. Nature, 2000, 403(6771): 795-800.
- [4] Marfe G, Tafani M, Indelicato M, et al. Kaempferol induces apoptosis in two different cell lines via Akt inactivation, Bax and SIRT3 activation, and mitochondrial dysfunction[J]. J Cell Biochem, 2009, 106(4):643-650.
- [5] Hirschey MD, Shimazu T, Huang JY, et al. SIRT3 regulates mitochondrial protein acetylation and intermediary metabolism [J]. Cold Spring Harb Symp Quant Biol, 2011,76:267-277.
- [6] Li S,Banck M, Mujtaba S, et al. p53-induced growth arrest is regulated by the mitochondrial SirT3 deacetylase [J]. PLoS One,2010,5(5):e10486.
- [7] Ahn BH, Kim HS, Song S, et al. A role for the mitochondrial deacetylase Sirt3 in regulating energy homeostasis [J]. Proc Nat Acad Sci U S A, 2008, 105 (38): 14447-14452.
- [8] Jing E, Emanuelli B, Hirschey MD, et al. Sirtuin-3(Sirt3) regulates skeletal muscle metabolism and insulin signaling via altered mitochondrial oxidation and reactive oxygen species production[J]. Proc Nat Acad Sci U S A, 2011, 108(35):14608-14613.
- [9] Sundaresan NR, Samant SA, Pillai VB, et al. SIRT3 is a stress-responsive deacetylase in cardiomyocytes that pro-

- tects cells from stress-mediated cell death by deacetylation of Ku70 [1]. Mol Cell Biol. 2008. 28(20):6384-6401.
- [10] Qiu X, Brown K, Hirschey MD, et al. Calorie restriction reduces oxidative stress by SIRT3-mediated SOD2 activation[J]. Cell Metab, 2010, 12(6):662-667.
- [11] Tao R, Coleman MC, Pennington JD, et al. Sirt3-mediated deacetylation of evolutionarily conserved lysine 122 regulates MnSOD activity in response to stress[J]. Mol Cell, 2010,40(6):893-904.
- [12] Alhazzazi TY, Kamarajan P, Joo N, et al. Sirtuin-3 (SIRT3), a novel potential therapeutic target for oral cancer[J]. Cancer, 2011, 117(8): 1670-1678.
- [13] Zhang L, Ren X, Cheng Y, et al. Identification of Sirtuin 3, a mitochondrial protein deacetylase, as a new contributor to tamoxifen resistance in breast cancer cells[J]. Biochem Pharmacol, 2013, 86(6):726-733.
- [14] Aquila PD,Rose G,Panno ML, et al. SIRT3 gene expression; a link between inherited mitochondrial DNA variants and oxidative stress[J]. Gene, 2012, 497(2): 323-329.
- [15] Bell EL, Emerling BM, Ricoult SJ, et al. SirT3 suppresses hypoxia inducible factor 1alpha and tumor growth by inhibiting mitochondrial ROS production [J]. Oncogene, 2011,30(26):2986-2996.
- [16] Song CL, Tang H, Ran LK, et al. Sirtuin 3(SIRT3) inhibits hepatocellular carcinoma growth through the glycogen synthase kinase-3β/BCL2-associated X protein-dependent apoptotic pathway[J]. Oncogene, 2016, 35(5):631-641.
- [17] 宋春丽,任吉华,张祯祯,等. SIRT1 基因沉默诱导肝癌细胞老化及其机制[J]. 第三军医大学学报,2012,34(19): 1929-1932.
- [18] Deng, Y, Chan SS, Chang S. Telomere dysfunction and tumour suppression; the senescence connection [J]. Nat Rev Cancer, 2008, 8(6):450-458.
- [19] Stewart SA, Weinberg RA. Telomeres: cancer to human aging[J]. Annu Rev Cell Dev Biol, 2006, 22:531-557.

(收稿日期:2016-06-23 修回日期:2016-07-29)

统计资料类型

统计资料共有三种类型:计量资料、计数资料和等级资料。按变量值性质可将统计资料分为定量资料和定性资料。 定量资料又称计量资料,指通过度量衡的方法,测量每一个观察单位的某项研究指标的量的大小,得到的一系列数据资料,其特点为具有度量衡单位、多为连续性资料、可通过测量得到,如身高、红细胞计数、某一物质在人体内的浓度等有一定单位的资料。

定性资料分为计数资料和等级资料。计数资料为将全体观测单位(受试对象)按某种性质或特征分组,然后分别清点各组观察单位(受试对象)的个数,其特点是没有度量衡单位,多为间断性资料,如某研究根据患者性别将受试对象分为男性组和女性组,男性组有72例,女性组有70例,即为计数资料。等级资料是介于计量资料和计数资料之间的一种资料,可通过半定量的方法测量,其特点是每一个观察单位(受试对象)没有确切值,各组之间仅有性质上的差别或程度上的不同,如根据某种药物的治疗效果,将患者分为治愈、好转、无效或死亡。